

## Donata KONOPACKA-ŁYSKAWA

e-mail: donata.konopacka-lyskawa@pg.gda.pl

Katedra Inżynierii Chemicznej i Procesowej, Wydział Chemiczny, Politechnika Gdańska, Gdańsk

## Precypitacja kulistych cząstek węgla wapnia w układzie gaz-ciecz

## Wstęp

W wielu gałęziach przemysłu stosowany jest strącany węgiel wapnia (*precipitated calcium carbonate*). Wielkość światowej produkcji strącanego  $\text{CaCO}_3$  oszacowano na 14 mln ton w roku 2011, a jej średni roczny wzrost wynosi obecnie około 4,4%. Strącany  $\text{CaCO}_3$  wykorzystywany jest w przemyśle papierniczym, do produkcji farb oraz w przetwórstwie polimerów. Substancja ta jest dopuszczona jako środek pomocniczy w preparatach farmaceutycznych i spożywczych (dodatek E 170). Ze względu na szerokie zastosowania węgla wapnia w literaturze znaleźć można wiele prac poświęconych badaniom nad możliwością wytwarzania cząstek  $\text{CaCO}_3$  o wymaganej do danego przeznaczenia charakterystyce, na którą składa się postać krystaliczna, wielkość i kształt cząstek.

Bezwodny węgiel wapnia może tworzyć formę amorficzną oraz trzy formy krystaliczne: kalcyt, aragonit i wateryt. Stabilność termodynamiczna form krystalicznych  $\text{CaCO}_3$  maleje w podanym szeregu od kalcytu do waterytu w temperaturze standardowej. Doświadczenia wskazują, że na tworzenie poszczególnych form krystalicznych węgla wapnia wpływa temperatura, przesylenia roztworu, obecność substancji dodatkowych w środowisku reakcji oraz warunki hydrodynamiczne. Wybrane właściwości form krystalicznych  $\text{CaCO}_3$  przedstawiono w tab. 1.

Tab. 1. Właściwości form krystalicznych bezwodnego węgla wapnia

Forma krystaliczna	Gęstość [ $\text{kg/m}^3$ ]	Iloczyn rozpuszczalności ( $K_{sp}$ ) <sup>a</sup>	Struktura
kalcyt	2715	$3,53 \cdot 10^{-9}$	romboedryczna R3c
aragonit	2950	$4,95 \cdot 10^{-9}$	rombowa Pmcn
wateryt	2540	$1,34 \cdot 10^{-8}$	heksagonalna P6 <sub>3</sub> /mmc

<sup>a</sup> wartości w temperaturze 20°C obliczone wg [Beck i Andreassen, 2010]

W literaturze znaleźć można wyniki badań przedstawiających warunki precypitacji kulistych cząstek węgla wapnia. Większość tych badań prowadzona była w układzie ciecz-ciecz. Najczęściej kuliste cząstki  $\text{CaCO}_3$  otrzymywano w formie waterytu [Tracy i in., 1998; Beck i Andreassen, 2010]. Tworzeniu waterytu sprzyja umiarkowane przesylenie roztworu, intensywne mieszanie, obecność surfaktantów i/lub polimerów w mieszaninie reakcyjnej lub dodatek innych substancji posiadających zdolność stabilizowania struktury krystalicznej. Kuliste cząstki waterytu można otrzymać również w układzie gaz-ciecz, podczas reakcji ditlenku węgla z azotanem wapnia w obecności monoetanoloaminy [Vučák i in., 1997] w temperaturze 30°C. Kuliste cząstki aragonitu wytwarzano też techniką dyfuzyjną w obecności dwuwartościowych kationów metali (np.  $\text{Fe}^{2+}$ ,  $\text{Mg}^{2+}$ ,  $\text{Co}^{2+}$ ) [Tracy i in., 1998] oraz w reakcji gazowego  $\text{CO}_2$  i octanu wapnia pod ciśnieniem 24 MPa [Bao i Zhang, 2009]. Amorficzny  $\text{CaCO}_3$  może tworzyć kuliste cząstki. Formę tę otrzymywano w układzie ciecz-ciecz w obecności jonów  $\text{Mg}^{2+}$  lub w reakcji  $\text{CaCl}_2$  z  $\text{CO}_2$  wytworzonym podczas zasadowej hydrolizy węgla dimetylu [Gorna i in., 2008]. Niewiele opublikowanych badań dotyczy otrzymywania kulistych cząstek węgla wapnia w formie kalcytu. Zaobserwowano, że kulisty kalcyt może powstać, gdy precypitacja  $\text{CaCO}_3$  w układzie ciecz-ciecz jest prowadzona w temperaturze 5°C [Beck i Andreassen, 2010] lub gdy w roztworze znajduje się odpowiednia kompozycja jonów, tzn. mieszanina reakcyjna powinna zawierać, oprócz jonów wapnia i węglanowych, jony  $\text{Mg}^{2+}$ ,  $\text{HPO}_4^{2-}$ ,  $\text{SO}_4^{2-}$  [Tracy i in., 1998]. Kuliste kryształy kalcytu powstają też w skorupkach ptasich jaj [Adadi i Weiner, 1992].

Celem niniejszej pracy jest prezentacja wyników badań dotyczących możliwości wytwarzania kulistych cząstek węgla wapnia w formie kalcytu, które otrzymywano w układzie gaz-ciecz w obecności trietanoloaminy.

## Badania doświadczalne

## Aparatura

Cząstki węgla wapnia otrzymywano w wyniku reakcji zaabsorbowanego w wodnym roztworze trietanoloaminy (TEA) gazowego ditlenku węgla z chlorkiem wapnia. Reakcję prowadzono w reaktorze typu *airlift* z cyrkulacją wewnętrzną. Reaktor zbudowany był z dwóch współosiowych kolumn: zewnętrznej ( $D_z/D_w = 80/72$  mm,  $H = 800$  mm) i wewnętrznej ( $d_z/d_w = 50/45$  mm,  $h = 380$  mm). Dystrybutor gazu w postaci metalowego pierścienia o średnicy zewnętrznej 40 mm z otworami o średnicy 0,5 mm, zamontowano na wysokości dolnej krawędzi kolumny wewnętrznej. W strefie opadania na wysokości 220 mm nad dnem reaktora zamocowany był króciec do poboru próbek.

## Strącanie węgla wapnia

Strącanie węgla wapnia prowadzono w temperaturze 20°C. Stężenie chlorku wapnia w roztworze wynosiło 0,2 mol/dm<sup>3</sup>, zaś stężenie TEA w roztworze zmieniano w zakresie od 0,1 do 0,4 mol/dm<sup>3</sup>. Przez przygotowany roztwór TEA i  $\text{CaCl}_2$  przepuszczano mieszaninę  $\text{CO}_2$  i powietrza, o zawartości  $\text{CO}_2$   $x_V = 0,0752$ . Prędkości przepływu gazu w strefie wznoszenia wynosiła  $u_G = 0,028$  m/s.

Dla porównania wykonano doświadczenie, w którym najpierw w reaktorze *airlift* nasycono roztwór TEA ditlenkiem węgla, a następnie dodano roztwór  $\text{CaCl}_2$  i przez mieszaninę reakcyjną przepuszczano powietrze z taką samą prędkością jak w przypadku mieszaniny  $\text{CO}_2$  i powietrza w pierwszej serii doświadczeń. Stężenie jonów  $\text{Ca}^{2+}$  i TEA w roztworze po wymieszaniu wynosiło 0,2 M. W założonych odstępach czasu pobierano próbki mieszaniny reakcyjnej.

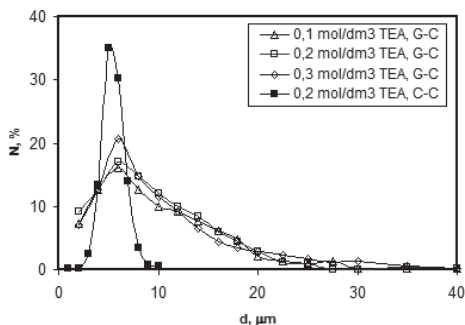
Zawarte w próbkach wytrącone cząstki  $\text{CaCO}_3$  obserwowano pod mikroskopem optycznym i wykonywano ich zdjęcia, a w przesączu oznaczano stężenie jonów  $\text{Ca}^{2+}$  metodą miareczkową z użyciem kwasu etylenodiaminotetraoctowego (EDTA). Po zakończeniu reakcji otrzymane osady  $\text{CaCO}_3$  filtrowano, przemywano etanolem i suszono przez minimum 6 godzin w temperaturze 100°C. Wielkość i kształt cząstek wyznaczano na podstawie obrazów mikroskopowych (mikroskop *Delta Optical* i elektronowy mikroskop skaningowy *EVO-40 Zeiss*). Wartość średnicy *Sautera* wyznaczano na podstawie populacji liczebności cząstek przekraczającej 350. Formę krystaliczną węgla wapnia oznaczano za pomocą proszkowej analizy dyfrakcyjnej promieniowania rentgenowskiego (XRD; *X'Pert Pro Philips*).

## Wyniki i dyskusja

Podczas otrzymywania węgla wapnia w obecności TEA zachodzi: reakcja TEA z wodą (wytworzenie jonów  $\text{OH}^-$  sprzyjających absorpcji  $\text{CO}_2$ ), absorpcja  $\text{CO}_2$  i jego dysocjacja w środowisku zasadowym oraz strącanie  $\text{CaCO}_3$  w reakcji między jonami węglanowymi i jonami wapnia. Najwolniejszym etapem jest absorpcja  $\text{CO}_2$ . Szybkość absorpcji zależy od stężenia TEA, stężenia  $\text{CO}_2$  w gazie, ciśnienia i temperatury. Szybkość absorpcji rośnie wraz ze wzrostem stężenia TEA. W pierwszej serii doświadczeń, gdy doprowadzona jest mieszanina gazowa  $\text{CO}_2$  i powietrza, wyższe stężenie TEA powoduje, że przesylenie osiągnięte jest szybciej i cząstki węgla wapnia szybciej są wytrącane z roztworu. Potwierdzają to oznaczenia stężenia jonów  $\text{Ca}^{2+}$  w roztworze. W doświadczeniu drugim, gdy strącano  $\text{CaCO}_3$  w układzie ciecz-ciecz, dodając roztwór  $\text{CaCl}_2$  do nasyconego uprzednio ditlenkiem węgla roztworu TEA, reakcja zachodzi natychmiast po wymieszaniu roztworów i stężenie jonów  $\text{Ca}^{2+}$  w przesączu od pobrania pierwszej próbki mieszaniny reakcyjnej po 3 minutach nie zmienia się w czasie mieszania przez 0,5 godziny.

### Wielkość otrzymanych cząstek

Wielkość otrzymanych cząstek zależy od stężenia reagentów oraz sposobu prowadzenia reakcji. Przykładowe rozkłady wielkości cząstek CaCO<sub>3</sub> przedstawiono na rys. 1. Na wykresie tym można zaobserwować, że rozkłady wielkości cząstek otrzymanych w układzie gaz-ciecz są spłaszczone, a wzrost stężenia TEA, i związany z tym wzrost szybkości absorpcji CO<sub>2</sub>, skutkuje zwiększeniem udziału populacji mniejszych cząstek w produkcji.



Rys. 1. Unormowane rozkłady liczbowe wielkości cząstek węglanu wapnia otrzymanych w układzie gaz-ciecz (G-C) i w układzie ciecz-ciecz (C-C); [CaCl<sub>2</sub>] = 0,2 mol/dm<sup>3</sup>,  $u_G = 0,028$  m/s

Współczynniki asymetrii rozkładu obliczone z zależności:

$$A_3 = \frac{\sum n_i (d_i - d_a)^3}{\sigma^3 \sum n_i} \quad (1)$$

gdzie:

$n_i$  – liczba cząstek o średnicy  $d_i$ ,

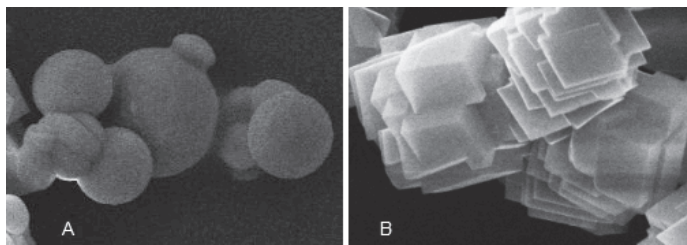
$d_a$  – średnia arytmetyczna średnica cząstek,

$\sigma$  – odchylenie standardowe,

są dodatnie, a ich wartości mieszają się w zakresie od 0,75 do 1,1, co odpowiada tzw. ogonowi obserwowanemu po prawej stronie dominanty. Średnia wielkość cząstek wyznaczona jako średnica Sautera jest zbliżona dla badanych układów reakcyjnych i wynosi około 17 μm.

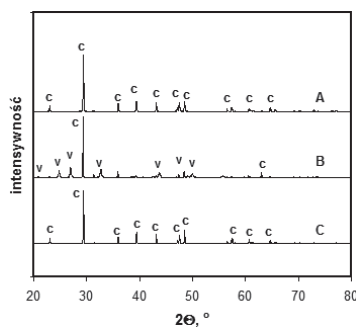
Natomiast w układzie ciecz-ciecz otrzymywano mniejsze cząstki o średnicy Sautera wynoszącej 6 μm i mniejszym odchyleniu standardowym. W tym przypadku rozkład wielkości cząstek CaCO<sub>3</sub> charakteryzuje dodatni współczynnik asymetrii rozkładu, którego wartość jest równa 0,4. Nie obserwowano zmian wielkości cząstek CaCO<sub>3</sub> po 3 godzinach od zakończenia precypitacji.

**Obrazy cząstek** wykonane mikroskopem elektronowym przedstawiono na rys. 2. Większość cząstek CaCO<sub>3</sub> strąconych w układzie gaz-ciecz ma kształt kulisty o chropowatej powierzchni. Wśród otrzymanych cząstek występują też sześciennie kryształy o gładkich powierzchniach, które są strukturami typowymi dla formy kalcytu. Udział cząstek sześciennych zmniejsza się wraz ze wzrostem stężenia TEA w roztworze. W układzie ciecz-ciecz obserwowano tylko cząstki wielościenne, które są rezultatem zaburzenia wzrostu typowej dla kalcytu jednostki sześcienniej.



Rys. 2. Zdjęcia SEM otrzymanych cząstek CaCO<sub>3</sub>; A: [CaCl<sub>2</sub>] = 0,2 M, [TEA] = 0,2 M, reakcja w układzie G-C; B: [CaCl<sub>2</sub>] = 0,2 M, [TEA] = 0,2 M, reakcja w układzie C-C

**Struktura krystaliczna cząstek** CaCO<sub>3</sub> określona została na podstawie analizy dyfrakcyjnej promieniowania rentgenowskiego. Przykładowe dyfraktogramy (intensywność refleksów w funkcji ich pozycji) przedstawiono na rys. 3. W większości analizowanych próbek obserwowano tylko piki charakterystyczne dla kalcytu. Jedynie w próbce węglanu wapnia, otrzymanego w układzie ciecz-ciecz dla najwyższego badanego stężenia TEA, zarejestrowano mieszaninę waterytu i kalcytu. Udział waterytu ( $X_V$ ) można obliczyć ze wzoru:



Rys. 3. Dyfraktogramy cząstek CaCO<sub>3</sub>; c – kalcyt, v – wateryt; A: [CaCl<sub>2</sub>] = 0,2 mol/dm<sup>3</sup>, [TEA] = 0,2 mol/dm<sup>3</sup>, układ G-C; B: [CaCl<sub>2</sub>] = 0,2 mol/dm<sup>3</sup>, [TEA] = 0,3 mol/dm<sup>3</sup>, układ G-C; C: [CaCl<sub>2</sub>] = 0,2 mol/dm<sup>3</sup>, [TEA] = 0,2 mol/dm<sup>3</sup>, układ C-C

$$X_V = \frac{7,691(I_V^{110})}{I_C^{104} + 7,691(I_V^{110})} \quad (2)$$

gdzie:

$I_V^{110}$  – intensywność piku waterytu dla płaszczyzny 110,

$I_C^{104}$  – intensywność piku kalcytu dla płaszczyzny 104.

Zawartość waterytu w analizowanym produkcie wynosiła 47%.

W przypadku precypitacji węglanu wapnia, przy stosowaniu wysokich przesyczeń, jako pierwsza tworzy się w forma amorficzna, której rozpuszczalność w roztworach wodnych jest najwyższa ( $K_{sp} = 1,07 \cdot 10^{-6}$  wg Becka i Andreassena [2010]). Amorficzny węglan wapnia przekształca się następnie w bardziej termodynamicznie stabilne kryształy.

W temperaturze 20°C możliwe jest powstawanie kalcytu lub waterytu [Beck i Andreassen, 2010]. Wateryt, który jest również formą przejściową, występuje najczęściej w postaci polikrystalicznych kulistych agregatów. Po wydzieleniu z roztworu pozostaje stabilny przez długi czas, natomiast pozostawiony w roztworze może przekształcić się w kalcyt. W układzie gaz-ciecz, gdy precypitacja zachodziła wolniej, obserwowano kuliste cząstki kalcytu, co jest najprawdopodobniej efektem całkowitej transformacji waterytu w kalcyt, natomiast dla wyższego stężenia TEA w produkcie obecny był jeszcze wateryt. Pokrój cząstek kalcytu, otrzymanych podczas precypitacji w układzie ciecz-ciecz, świadczy o powstawaniu tej formy krystalicznej bez tworzenia przejściowego waterytu.

### Podsumowanie i wnioski

Podczas precypitacji węglanu wapnia w układzie gaz-ciecz produktem był w większości doświadczeń kalcyt w postaci kulistych cząstek wraz z niewielką liczbą sześciennych kryształów.

Dla najwyższego użytego stężenia TEA otrzymany CaCO<sub>3</sub>, oprócz kalcytu, zawierał też 47% waterytu.

Średnia średnica Sautera cząstek wynosiła około 17 μm.

W przeprowadzonych doświadczeniach nie zaobserwowano wpływu stężenia TEA na wielkość cząstek, natomiast wraz ze wzrostem stężenia TEA zmniejszał się udział sześciennych kryształów w produkcie. Mniejsze cząstki o średnicy 6 μm i charakterystycznym wielościennym kształcie otrzymywano podczas precypitacji prowadzonej z roztworu TEA wcześniej nasyconego CO<sub>2</sub>.

### LITERATURA

- Addadi L., Weiner S., 1992. Control and design principles in biological mineralization *Angew. Chem.* **53**, 153-169. DOI: 10.1002/anie.199201531
- Bao W., Li H., Zhang Y., 2009. Preparation of monodispersed aragonite microspheres via a carbonation crystallization pathway *Cryst. Res. Tech.*, **44**, nr 4, 395-401. DOI: 10.1002/crat.200800065
- Beck R., Andreassen J.-P., 2010. The onset of spherulitic growth in crystallization of calcium carbonate *J. Cryst. Growth*, **312**, 2226-2238. DOI: 10.1013/j.crysgr.2010.04.037
- Gorna K., Hund M., Vučak M., Gröhn F., Wegner G., 2008. Amorphous calcium carbonate in form of spherical nanosized particles and its application as filler for polymers *Mat. Sci. Eng. A* **477**, 217-225. DOI: 10.1016/j.msea.2007.05.045
- Tracy S. I., François C. P. J., Jennings H. M., 1998. The growth of calcite spherulites from solution I. Experimental design techniques *J. Cryst. Growth*, **193**, 374-381. DOI: 10.1016/S0022-0248(98)00520-X
- Vučak M., Perić J., Krstulović R., 1997. Precipitation of calcium carbonate in a calcium nitrate and monoethanolamine solution. *Pow. Tech.*, **91**, 69-74. DOI: 10.1016/S0032-5910(96)03248-2